

Definicja grafu (skierowanego – tzw. digrafu)

Graf skierowany \mathcal{G} to trójka uporządkowana $\mathcal{G} = \langle V, E, I \rangle$

V – niepusty zbiór wierzchołków (*vertex*) numerowanych od 0

TO: węzły ($0 \rightarrow \text{masa}$)

E – zbiór krawędzi (*edge*) rozłączny z V

TO: gałęzie

I – funkcja incydencji $E \xrightarrow{I} V \times V$: każdej krawędzi przyporządkowujemy uporządkowaną parę (niekoniecznie różnych) wierzchołków – początek i koniec

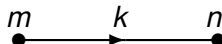
TO: zwrot zgodny ze strzałką prądu

Mówimy, że krawędź jest *incydentna* z oboma swoimi końcami.

Podgraf $\mathcal{G}' = \langle V', E', I \rangle$, gdzie $V' \subseteq V$ i $E' \subseteq E$ (ta sama I).

Interpretacja geometryczna: punkty (V) i linie (E) w przestrzeni 3D (graf *planarny* da się narysować na płaszczyźnie bez przecięć krawędzi).

$$e_k \xrightarrow{I} \langle v_m, v_n \rangle$$



Reprezentacje grafu

- Pełna macierz incydencji $\mathbf{A}_p = [a_{wk}]_{|V| \times |E|}$ – b. rzadka!

$$a_{wk} = \begin{cases} -1 & \text{wierzchołek } w \text{ jest początkiem krawędzi } k \\ 1 & \text{wierzchołek } w \text{ jest końcem krawędzi } k \\ 0 & \text{wierzchołek } w \text{ nie należy do krawędzi } k \end{cases}$$

Nie można reprezentować pętli własnych wierzchołków.

- Pełna macierz sąsiedztwa wierzchołków $\mathbf{B}_p = [b_{mn}]_{|V| \times |V|}$

$$b_{mn} = \begin{cases} k & e_k \xrightarrow{l} \langle v_m, v_n \rangle \\ 0 & \text{w przeciwnym przypadku} \end{cases}$$

Nie można reprezentować krawędzi równoległych.

- Listy incydencji – dla każdego wierzchołka podajemy numery wszystkich wierzchołków do których prowadzi od niego krawędź, wraz z numerami tych krawędzi:

$$\mathcal{L}[m] = \{\dots, \langle n, k \rangle, \dots\}$$

Brak ograniczeń, mała pamięć, szybkie przeszukiwanie.

Drogi i cykle ← *kierunki krawędzi nie mają znaczenia!*

Droga...

... uporządkowany ciąg różnych krawędzi $\langle e_1, \dots, e_l \rangle$ taki, że:

- 1 każde dwie sąsiednie krawędzie e_k, e_{k+1} mają wspólny wierzchołek,
- 2 żadna inna krawędź $e_1, \dots, e_{k-1}, e_{k+2}, \dots, e_l$ nie jest z tym wierzchołkiem incydentna,
- 3 pierwsza krawędź e_1 jest incydentna z wierzchołkiem będącym początkiem drogi, a ostatnia krawędź e_l jest incydentna z wierzchołkiem będącym końcem drogi,
- 4 początek i koniec drogi są różne.

Cykl (kontur, droga zamknięta, *circuit*) – definicja j.w., ale...

- 4 początek i koniec drogi są identyczne.

Zbiór wszystkich cykli (zorientowanych ) oznaczmy przez C .

Reprezentacja cykli, klasyfikacja grafów

- Pełna macierz cykli $\mathbf{D}_p = [d_{ck}]_{|C| \times |E|}$

$$d_{ck} = \begin{cases} 1 & \text{cykl } c \text{ zawiera krawędź } k \text{ ze zgodnym zwrotem} \\ -1 & \text{cykl } c \text{ zawiera krawędź } k \text{ z przeciwnym zwrotem} \\ 0 & \text{cykl } c \text{ nie zawiera krawędzi } k \end{cases}$$

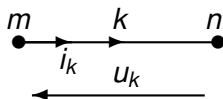
Macierz \mathbf{A}_p jednoznacznie określa graf \mathcal{G} (grafy *izomorficzne* mają jednakowe macierze incydencji).

Macierz \mathbf{D}_p nie określa jednoznacznie grafu \mathcal{G} .

- Klasyfikacja grafów:
 - Graf **spójny** – każde dwa wierzchołki należą do jakiejś drogi.
 - Graf **silnie spójny** – każde dwa wierzchołki należą do jakiegoś cyklu.
 - Graf **niespójny** (rozłączny) – dzieli się na spójne *składowe*.
 - Graf **sieciowy** – graf skierowany silnie spójny bez pętli własnych wierzchołków (przedmiot zainteresowań TO).
 - Graf **z wagami** – każdej krawędzi przyporządkowujemy „wagę” (np. liczbę rzeczywistą).

Zastosowanie grafów w teorii obwodów

Wprowadzamy wektory prądów i napięć gałęziowych: \mathbf{i} , \mathbf{u} .



PPK $\mathbf{A}_p \mathbf{i} = \mathbf{0}$, ale $\text{rz}(\mathbf{A}_p) \stackrel{\text{ozn.}}{=} r = |V| - 1$ (tzw. *rzęd \mathcal{G}*), więc możemy pominąć jeden wiersz (odpowiadający masie), otrzymując **macierz incydencji \mathbf{A}** o rozmiarach $r \times |E|$.

$$\mathbf{A}_p \mathbf{i} = \mathbf{0} \quad \Longleftrightarrow \quad \mathbf{A} \mathbf{i} = \mathbf{0}$$

NPK $\mathbf{D}_p \mathbf{u} = \mathbf{0}$, ale $\text{rz}(\mathbf{D}_p) \stackrel{\text{ozn.}}{=} c = |E| - |V| + 1$ (tzw. *liczba cyklomatyczna \mathcal{G}*), więc możemy pominąć wiele wierszy, pozostawiając liniowo niezależne (np. dla grafu planarnego – oczka), otrzymując **macierz cykli \mathbf{D}** o rozmiarach $c \times |E|$.

$$\mathbf{D}_p \mathbf{u} = \mathbf{0} \quad \Longleftrightarrow \quad \mathbf{D} \mathbf{u} = \mathbf{0}$$

Jak znaleźć macierz \mathbf{D} ? Trzeba wybrać jakieś *drzewo \mathcal{G}* .

Im dalej w las, tym więcej drzew...

Drzewo (*tree*) grafu \mathcal{G} ...

... to jego spójny podgraf \mathcal{T} zawierający wszystkie wierzchołki i nie zawierający żadnego cyklu.

Twierdzenie Cayleya (1889)

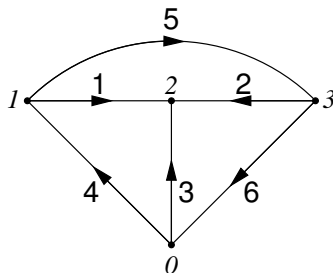
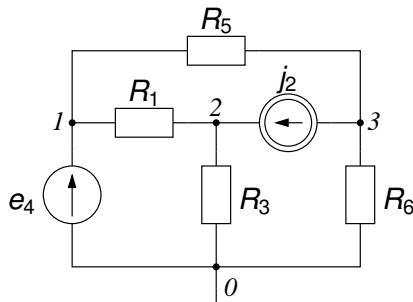
Liczba drzew grafu wynosi $|V|^{|V|-2}$.

Każde drzewo zawiera $r = |V| - 1$ krawędzi. Dołączenie *dowolnej* kolejnej krawędzi (jednej spośród $c = |E| - |V| + 1$ pozostałych) powoduje powstanie cyklu. Tak otrzymane cykle stanowią *układ fundamentalny* cykli względem drzewa \mathcal{T} – odpowiadają im liniowo niezależne wiersze $\mathbf{D}_p \rightarrow \mathbf{D}$.

Ponumerujemy krawędzie tak, że pierwsze $|V| - 1$ należy do \mathcal{T} , a cykle zgodnie z numeracją krawędzi *dopełnienia* $\overline{\mathcal{T}}$. Wtedy:

$$\mathbf{A} = [\mathbf{A}_{\mathcal{T}} | \mathbf{A}_{\overline{\mathcal{T}}}], \quad \mathbf{D} = [\mathbf{D}_{\mathcal{T}} | \mathbf{1}], \quad \text{przy czym } \mathbf{D}_{\mathcal{T}} = -\left(\mathbf{A}_{\mathcal{T}}^{-1} \mathbf{A}_{\overline{\mathcal{T}}}\right)^T.$$

Przykład



Oprócz PPK i NPK obwód opisują równania gałęziowe:

$$u_1 = R_1 i_1, \quad i_2 = j_2, \quad u_3 = R_3 i_3, \quad u_4 = -e_4, \quad u_5 = R_5 i_5, \quad u_6 = R_6 i_6$$

Przykład – rozwiązanie w MATLAB-ie

```
% Pełna macierz incydencji:
```

```
Ap = [ 0  0 -1 -1  0  1 % v0
      -1  0  0  1 -1  0 % v1
        1  1  1  0  0  0 % v2
        0 -1  0  0  1 -1 % v3
      ]%e1 e2 e3 e4 e5 e6
```

```
% Pełna macierz obwodowa:
```

```
Dp = [ 1  0 -1  1  0  0 % c1 (oczko 1)
      -1  1  0  0  1  0 % c2 (oczko 2)
        0 -1  1  0  0  1 % c3 (oczko 3)
        0  0  0  1  1  1 % c4 (oczko odniesienia)
      -1  0  1  0  1  1 % c5
        1 -1  0  1  0  1 % c6
        0  1 -1  1  1  0 % c7
      ]%e1 e2 e3 e4 e5 e6
```

```
% Wektory prądów i napięć gałęziowych:
```

```
syms i1 i2 i3 i4 i5 i6 % zmienne symboliczne
i = [i1 i2 i3 i4 i5 i6].' % '.' to operator transpozycji
```

```
syms u1 u2 u3 u4 u5 u6
u = [u1 u2 u3 u4 u5 u6].'
```


Przykład – rozwiązanie w MATLAB-ie, c.d.

% Prądowe prawo Kirchhoffa:

Ap * i

rank(Ap)

A = Ap(2:end, :) % usuwamy wierzchołek v0

A * i

% Napięciowe prawo Kirchhoffa:

Dp * u

rank(Dp)

D = Dp(1:3, :) % wybieramy tylko oczka 1, 2 i 3

D * u

% Obliczenie D na podstawie A:

AT = A(:, 1:3)

AT1 = A(:, 4:end)

DT = -(AT\AT1).'

Dx = [DT, eye(size(DT,1))] % powinno zachodzić Dx == D

% Rozwiązanie obwodu metoda "brutalnej siły"

syms R1 R3 R5 R6 j2 e4

rozv = solve([-i1+i4-i5==0, i1+i2+i3==0, -i2+i5-i6==0, u1-u3+u4==0,...
-u1+u2+u5==0, -u2+u3+u6==0, u1==R1*i1, i2==j2, u3==R3*i3, u4==...
-e4, u5==R5*i5, u6==R6*i6], [i1,i2,i3,i4,i5,i6,u1,u2,u3,u4,u5,u6]);

Wielowrotniki

Układy wielowrotowe (wielowrotniki):

- mają wyróżnionych $n \geq 1$ par zacisków (wrót),
- z każdymi wrotami związany jest prąd i_k i napięcie u_k ,
- i_k , u_k powiązane są n niezależnymi równaniami,
- prądy zaciskowe obu zacisków każdej pary są równe co do modułu i przeciwnie skierowane.

jednowrotnik \equiv dwójnik

dwuwrotnik \equiv czwórnik

czwórnik o strukturze trójkątowej \equiv trójk

Indukcyjności sprzężone (model transformatora)

Indukcyjności sprzężone – każda z nich obejmuje część (lub całość) strumienia skojarzonego drugiej. Niech $D \stackrel{\text{ozn.}}{=} \frac{d}{dt}$.

$$u_1 = D(\psi_1 + \psi_{12}) = DL_1 i_1 + DL_{12} i_2 = DL_1 i_1 + DM i_2$$

$$u_2 = D(\psi_2 + \psi_{21}) = DL_2 i_2 + DL_{21} i_1 = DL_2 i_2 + DM i_1$$

Ze względu na symetrię oddziaływań magnetycznych mamy $L_{12} = L_{21} \stackrel{\text{def.}}{=} M$ – *indukcyjność wzajemna*, $M \in \mathbb{R}$.

Indukcyjność wzajemna M ...

... jest dodatnia (ujemna), jeśli prądy i_1 i i_2 są zastrzałkowane jednakowo (przeciwnie) względem zacisków jednoimiennych.

Dwie indukcyjności sprzężone o *wspólnym zacisku* można zamienić na *trzy* indukcyjności niesprężone w układzie „T” o wartościach $L_1 - M$, M i $L_2 - M$.

Indukcyjności sprzężone – c.d.

Ponieważ druga indukcyjność nie może przejąć większego strumienia magnetycznego niż wytworzyła pierwsza, więc:

$$M^2 \leq L_1 L_2$$

Współczynnik sprzężenia określamy wzorem:

$$k = |M| / \sqrt{L_1 L_2} \in [0, 1]$$

Dla $k = 1$ sprzężenie jest *całkowite* (idealne). Wprowadzając:

$$\gamma \stackrel{\text{def.}}{=} \frac{L_1}{M} = \frac{M}{L_2} = \text{sgn}(M) \sqrt{L_1 / L_2} = \text{sgn}(M) z_1 / z_2$$

gdzie $\gamma_z = z_1 : z_2$ – tzw. *przekładnia zwojowa*, dostaniemy:

$$u_1 = DL_1 i_1 + DM i_2 = DL_1 (i_1 + i_2 / \gamma) = (L_1 / M) u_2 = \gamma u_2$$

$$u_2 = DL_2 i_2 + DM i_1 = DM (i_1 + i_2 / \gamma)$$

Jeśli dodatkowo wszystkie indukcyjności $\rightarrow \infty$ przy $\gamma_z = \text{const}$ (wkładamy coraz lepsze rdzenie), to w granicy $i_1 \rightarrow -i_2 / \gamma$.

Otrzymaliśmy równania *transformatora idealnego*.

Transformator idealny (TI)

Równania transformatora idealnego (γ – przekładnia):

$$u_1 = \gamma u_2, \quad i_1 = -i_2/\gamma, \quad \gamma \in \mathbb{R}, \gamma \neq 0$$

Transformator idealny działa także dla prądów stałych (sic!).

Przekładnia γ ...

...jest dodatnia (ujemna), jeśli prądy i_1 i i_2 są zastrzałkowane jednakowo (przeciwnie) względem zacisków jednoimiennych.

Transformator idealny zmienia „poziom” obciążenia.

Właściwości transformatora idealnego:

- $u_1/i_1 = \gamma^2 \cdot u_2/(-i_2)$ – zmiana „poziomu” obciążenia,
- $u_2 = u'_2 + u''_2 \implies u_1 = u'_1 + u''_1$ – połączenia szeregowo po stronie wtórnej zachowują się po pierwotnej,
- $-i_2 = (-i'_2) + (-i''_2) \implies i_1 = i'_1 + i''_1$ – połączenia równoległe po stronie wtórnej zachowują się po pierwotnej.

Moc i energia chwilowa

Moc (chwilowa) *pobierana* przez element w chwili t :

$$p(t) = u(t)i(t), \quad p = ui$$

(przy standardowym strzałkowaniu napięcia i prądu!). $[p] = \text{W}$.

Jeśli $p(t) < 0$, to w chwili t element faktycznie *oddaje* moc.

Moc (chwilowa) *oddawana* przez element:

$$p_o = -p = -ui = (-u)i = u(-i)$$

Energia (chwilowa) *pobrana* przez element od chwili t_0 do t :

$$w(t, t_0) = \int_{t_0}^t p(t)dt = w(t)$$

Jeśli $w(t, t_0) < 0$, to w przedziale $[t_0, t]$ element faktycznie *oddął* energię do otoczenia.

Jeśli ustalimy t_0 (np. „włączenie” układu, stan spoczynkowy), to w jest funkcją górnej granicy całkowania. $[w] = \text{J}$.

Moc i energia w oporze i źródłach idealnych

Zgodnie z założeniem $ui \geq 0$ (charakterystyka w I i III ćwiartce układu Oiu) moc chwilowa pobierana przez opór:

$$p \geq 0$$

Opór nigdy nie oddaje energii do otoczenia – jest elementem *stratnym*.

Energia $w(t) = \int_{t_0}^t p dt$ jest nieujemna i niemalejąca.

Dla oporu *liniowego* o wartości $R = 1/G$:

$$p = ui = (Ri)i = Ri^2 = u(Gu) = Gu^2 = u^2/R$$

Źródło napięciowe idealne oddaje do otoczenia moc: $p_o = ei$

Źródło prądowe idealne oddaje do otoczenia moc: $p_o = ju$

Moc oddawana przez źródło może (ale nie musi) być dodatnia.